

Еще о непротиворечивом решении уравнений Максвелла

Аннотация

| Приводится краткое описание непротиворечивого решения
уравнений Максвелла, данного в [1], и новые дополнения.

Оглавление

1. Введение
 2. Решение уравнений Максвелла
 3. Напряженности
 4. Потоки энергии
 5. Скорость движения энергии
 6. Импульс и момент импульса
 7. Обсуждение
- Литература

1. Вступление

"До настоящего времени не было обнаружено ни одного эффекта, который потребовал бы видоизменения уравнений Максвелла" [4]. Тем не менее, в последнее время критика справедливости уравнений Максвелла слышится со всех сторон. Уверенность критиков уравнений Максвелла создается, прежде всего, нарушением закона сохранения энергии в такой волне. И, действительно, "*плотность потока электромагнитной энергии (модуль вектора Умова-Пойнтинга) «пульсирует» по гармоническому закону. Не нарушается ли здесь закон сохранения энергии?*" [3]. Безусловно, нарушается, если электромагнитная волна удовлетворяет **известному решению** уравнений Максвелла. Но ведь другого решения нет: "*Доказательство единственности решения в общих чертах сводится к следующему. Если имеется два различных решения, то их разность вследствие линейности системы тоже является решением, но при нулевых зарядах и токах и нулевых начальных и граничных условиях. Отсюда, пользуясь выражением для энергии электромагнитного поля и законом сохранения энергии заключаем, что разность решений тождественно равна нулю, т. е. решения одинаковы. Тем самым единственность решения уравнений Максвелла доказана*" [4]. Таким образом, **единственность решения**

доказывается на основе применения того закона, который нарушается в этом решении.

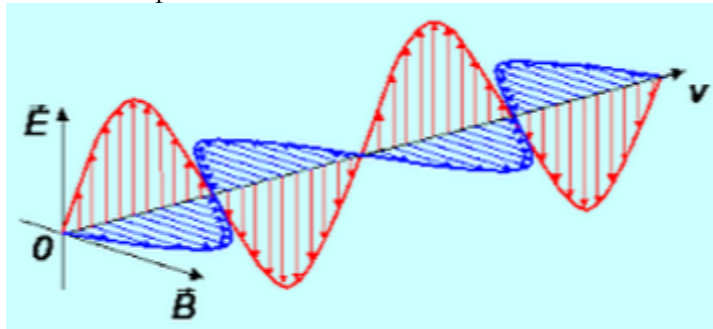


Рис. 1.

Другим результатом, следующим из существующего решения, является синфазность электрической и магнитной компонент напряженностей в электромагнитной волне. Это хорошо видно на рис. 1. Но это противоречит представлению о беспрерывном преобразовании электрической и магнитной компонент энергии в электромагнитной волне. В [3], например, этот факт относится к "порокам современной классической электродинамики".

Такие результаты, следующие из известного решения уравнений Максвелла, позволяют некоторым авторам усомниться в достоверности уравнений Максвелла. Подчеркнем, однако, что эти сомнительные результаты следуют **только из найденного решения**. Но это решение может быть иным (уравнения в частных производных имеют, как правило, несколько решений).

В [1] выводится другое решение уравнений Максвелла, в котором плотность потока электромагнитной энергии остается постоянной во времени, а электрическая и магнитная компоненты напряженностей в электромагнитной волне сдвинуты по фазе.

Ниже показывается, что из этого решения можно найти также скорость движения электромагнитной энергии, которая в общем случае отличается от скорости света. Даны и некоторые другие добавления к [1].

Для удобства читателя вначале кратко рассматривается предложенное в [1] решение.

2. Решение уравнений Максвелла

Система уравнений Максвелла для вакуума имеет вид

$$\operatorname{rot}(E) + \frac{\mu}{c} \frac{\partial H}{\partial t} = 0, \quad (1)$$

$$\operatorname{rot}(H) - \frac{\varepsilon}{c} \frac{\partial E}{\partial t} = 0, \quad (2)$$

$$\operatorname{div}(E) = 0, \quad (3)$$

$$\operatorname{div}(H) = 0. \quad (4)$$

В системе цилиндрических координат r, φ, z эти уравнения имеют вид:

$$\frac{E_r}{r} + \frac{\partial E_r}{\partial r} + \frac{1}{r} \cdot \frac{\partial E_\varphi}{\partial \varphi} + \frac{\partial E_z}{\partial z} = 0, \quad (5)$$

$$\frac{1}{r} \cdot \frac{\partial E_z}{\partial \varphi} - \frac{\partial E_\varphi}{\partial z} = -\frac{\mu}{c} \frac{\partial H_r}{\partial t}, \quad (6)$$

$$\frac{\partial E_r}{\partial z} - \frac{\partial E_z}{\partial r} = -\frac{\mu}{c} \frac{\partial H_\varphi}{\partial t}, \quad (7)$$

$$\frac{E_\varphi}{r} + \frac{\partial E_\varphi}{\partial r} - \frac{1}{r} \cdot \frac{\partial E_r}{\partial \varphi} = -\frac{\mu}{c} \frac{\partial H_z}{\partial t}, \quad (8)$$

$$\frac{H_r}{r} + \frac{\partial H_r}{\partial r} + \frac{1}{r} \cdot \frac{\partial H_\varphi}{\partial \varphi} + \frac{\partial H_z}{\partial z} = 0, \quad (9)$$

$$\frac{1}{r} \cdot \frac{\partial H_z}{\partial \varphi} - \frac{\partial H_\varphi}{\partial z} = \frac{\varepsilon}{c} \frac{\partial E_r}{\partial t}, \quad (10)$$

$$\frac{\partial H_r}{\partial z} - \frac{\partial H_z}{\partial r} = \frac{\varepsilon}{c} \frac{\partial E_\varphi}{\partial t}, \quad (11)$$

$$\frac{H_\varphi}{r} + \frac{\partial H_\varphi}{\partial r} - \frac{1}{r} \cdot \frac{\partial H_r}{\partial \varphi} = \frac{\varepsilon}{c} \frac{\partial E_z}{\partial t}, \quad (12)$$

Для сокращения записи в дальнейшем будем применять следующие обозначения:

$$co = \cos(\alpha\varphi + \chi z + \omega t), \quad (13)$$

$$si = \sin(\alpha\varphi + \chi z + \omega t), \quad (14)$$

где α, χ, ω – некоторые константы. Представим неизвестные функции в следующем виде:

$$H_r = h_r(r)co, \quad (15)$$

$$H_\varphi = h_\varphi(r)si, \quad (16)$$

$$H_z = h_z(r)si, \quad (17)$$

$$E_r = e_r(r)si, \quad (18)$$

$$E_\varphi = e_\varphi(r)co, \quad (19)$$

$$E_z = e_z(r)co, \quad (20)$$

где $h(r)$, $e(r)$ - некоторые функции координаты r .

В [1] показано, что у такой системы существует решение, имеющее следующий вид:

$$h_z(r) = 0, e_z(r) = 0, \quad (21)$$

$$e_r(r) = e_\varphi(r) = \frac{A}{2}r^{(\alpha-1)}, \quad (22)$$

$$h_\varphi(r) = \sqrt{\frac{\varepsilon}{\mu}}e_r(r), \quad . \quad (23)$$

$$h_r(r) = -\sqrt{\frac{\varepsilon}{\mu}}e_\varphi(r), \quad (24)$$

$$\chi = \pm \omega \sqrt{\mu \varepsilon} / c, \quad (25)$$

где $A, \varepsilon, \mu, c, \alpha, \chi, \omega$ - константы.

3. Напряженности

На рис. 2 показаны векторы напряженностей, исходящие из точки $A(r, \varphi)$. При этом векторы E , H всегда ортогональны.

Для демонстрации сдвига фаз между компонентами волны рассмотрим функции (2.13, 2.14) и (2.15-2.20). Видно, что в каждой точке с координатами r , φ , z напряженности H , E сдвинуты по фазе на четверть периода.

Плотность энергии равна

$$W = \left(\frac{\varepsilon}{2} E^2 + \frac{\mu}{2} H^2 \right) = \frac{A^2}{4} \cdot \varepsilon \cdot r^{2(\alpha-1)}. \quad (1)$$

Таким образом, плотность энергии электромагнитной волны постоянна во времени и одинакова на всех точках цилиндра данного радиуса.

Решение существует и при измененных знаках функций (2.13, 2.14). Этому случаю соответствует рис. 3. Рис. 2 и рис. 3 иллюстрируют то, что возможны два вида циркулярной поляризации электромагнитной волны.

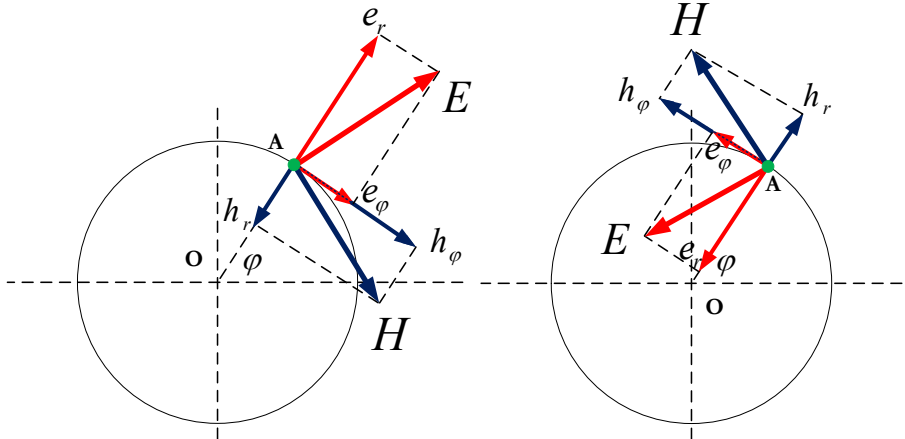


Рис. 2.

Рис. 3.

Рассмотрим функции (2.13, 2.14) и (2.25). Тогда найдем

$$co = \cos(\alpha\varphi + \sqrt{\varepsilon\mu} \frac{\omega}{c} z + \omega t), \quad (2)$$

$$si = \sin(\alpha\varphi + \sqrt{\varepsilon\mu} \frac{\omega}{c} z + \omega t). \quad (3)$$

Рассмотрим точку, движущуюся по цилиндуру постоянного радиуса r , у которой значение напряженности зависит от времени по формуле

$$H_r = h_r(r) \cos(\omega t) \quad (4)$$

Сравнивая эту формулу с (2.15) и учитывая (2), замечаем, что формулы (4) и (2.15) совпадают, если в любой момент времени

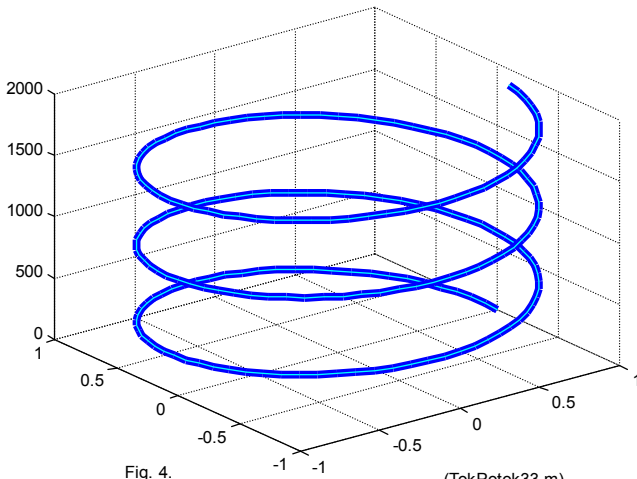
$$\alpha\varphi + \sqrt{\varepsilon\mu} \frac{\omega}{c} z = 0 \quad (5)$$

или

$$\varphi = -\frac{\omega\sqrt{\varepsilon\mu}}{\alpha \cdot c} z. \quad (6)$$

Таким образом, на цилиндре постоянного радиуса r существует траектория точки, описываемая формулами (2, 6), где все напряженности изменяются синусоидально. С другой стороны, такая траектория является винтовой линией. Следовательно, линия, по которой точка движется так, что ее напряженность H_r изменяется синусоидально во времени, является винтовой линией. Эти же рассуждения можно повторить для других напряженностей (2.16-2.20). Итак,

траектория точки, которая движется по цилиндуру данного радиуса так, что значение любой напряженности в этой точке изменяется синусоидально во времени, является винтовой линией. (A)



Например, на рис. 4 показана винтовая линия при $r = 1$, $c = 300000$, $\omega = 3000$, $\alpha = -3$, $\varphi = [0 \div 2\pi]$. На рис. 4а показаны винтовые линии при тех же условиях, но для различных значений радиуса $r = [0.5, 0.6, \dots 1.0, 1.1]$. Прямыми линиями показаны геометрические места точек с равными φ .

Обозначим $e_r(r) = e_\varphi(r) = e_{r\varphi}(r)$. Тогда из (2.21-2.25) следует, что в каждой точке имеются только векторы

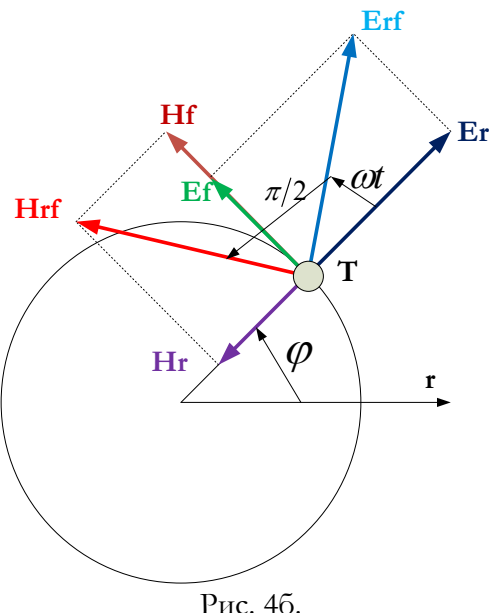
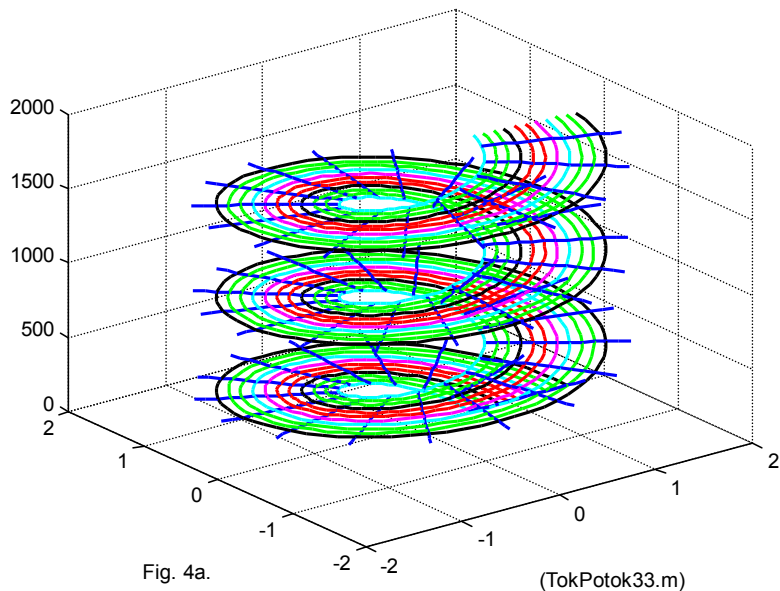
$$H_r = -\sqrt{\frac{\epsilon}{\mu}} e_{r\varphi}(r) \cos(\omega t), \quad H_\varphi = \sqrt{\frac{\epsilon}{\mu}} e_{r\varphi}(r) \sin(\omega t), \quad (7)$$

$$E_r = e_{r\varphi}(r) \sin(\omega t), \quad E_\varphi = e_{r\varphi}(r) \cos(\omega t). \quad (8)$$

При этом суммарные векторы $H_{r\varphi} = H_r + H_\varphi$ и $E_{r\varphi} = E_r + E_\varphi$ находятся в плоскости r, φ и имеют модули $|H_{r\varphi}| = \sqrt{\frac{\epsilon}{\mu}} e_{r\varphi}(r)$, $|E_{r\varphi}| = e_{r\varphi}(r)$. На рис. 4б показаны все эти векторы.

Видно, что при движении точки T по винтовой линии суммарные векторы $H_{r\varphi}$ и $E_{r\varphi}$ врашаются в плоскости r, φ . Их модули

остаются постоянными и равными между собой. Эти векторы $H_{r\phi}$ и $E_{r\phi}$ всегда ортогональны.



Итак, синусоидальная волна распространяется по винтовой линии, при этом в каждой точке T , движущейся по данной винтовой линии, проекции векторов магнитной и электрической напряженностей

- существуют только в плоскости, перпендикулярной оси винтовой линии, т.е. существуют только две проекции этих векторов,
- изменяются синусоидально,
- сдвинуты по фазе на четверть периода.

Суммарные векторы

- врачаются в этой плоскости,
- имеют постоянные модули,
- ортогональны друг другу.

4. Потоки энергии

Плотность потока электромагнитной энергии – вектор Умова-Пойнтинга

$$S = \eta E \times H , \quad (1)$$

где

$$\eta = c/4\pi . \quad (2)$$

Отсюда и из предыдущих формул следует, что поток энергии распространяется только вдоль оси OZ и равен

$$\bar{S} = \bar{S}_z = \eta \iint_{r,\phi} [s_z \cdot si \cdot co] dr \cdot d\phi , \quad (3)$$

где плотность потока энергии

$$s_z = \sqrt{\frac{\epsilon}{\mu}} (e_r^2 + e_\phi^2) . \quad (4)$$

Отсутствие потока энергии по радиусу означает, что область существования волны НЕ расширяется. Подтверждением этому является существование лазера.

Как показано в [1], из предыдущих формул следует, что

$$s_z = \frac{A^2 c}{64 \alpha \pi} \sqrt{\frac{\epsilon}{\mu}} (1 - \cos(4\alpha\pi)) r^{2(\alpha-1)} . \quad (5)$$

Отсюда следует, что

- плотность потока неравномерно распределена по сечению потока – существует картина распределения плотности потока по сечению волны;
- эта картина вращается при перемещении по оси OZ;

-
- поток энергии, проходящий через площадь сечения, не зависит от t , φ , z ; главное, что эта величина не изменяется во времени, и, следовательно, поток энергии электромагнитной волны является постоянным во времени; это соответствует **закону сохранения энергии**.

5. Скорость движения энергии

Прежде всего, найдем скорость распространения монохроматической электромагнитной волны. Очевидно, эта скорость равна производной $\frac{dz}{dt}$ от функции $z(t)$, заданной неявно в виде (2.15-2.20). Определив производную из этих функций, найдем скорость распространения монохроматической электромагнитной волны

$$v_m = \frac{dz}{dt} = -\frac{\omega}{\chi} \quad (1)$$

или, с учетом (2.25),

$$v_m = m \frac{c}{\sqrt{\mu\varepsilon}}. \quad (2)$$

Следовательно, скорость распространения монохроматической электромагнитной волны равна скорости света.

Общепринятой является концепция Умова [5], согласно которой плотность потока энергии s является произведением плотности энергии w и скорости движения энергии v_e :

$$s = w \cdot v_e. \quad (3)$$

Из (4.5, 3.1) получаем:

$$K_{vc} = \frac{v_e}{c} = \frac{(1 - \cos(4\alpha\pi))}{16\alpha\pi\sqrt{\varepsilon\mu}}. \quad (4)$$

При малых α уравнение (4) преобразуется к виду:

$$K_{vc} \approx \frac{\pi\alpha}{2\sqrt{\varepsilon\mu}}. \quad (5)$$

Таким образом, скорость движения электромагнитной энергии и величина α пропорциональны. В частности, скорость движения электромагнитной энергии равна скорости распространения монохроматической электромагнитной волны при $K_{vc} = 1$, откуда следует, что

$$\alpha \approx \frac{2}{\pi} \sqrt{\epsilon \mu} \approx 2 \cdot 10^{-9}. \quad (6)$$

При этом условии плотности потока энергии и энергии связаны соотношением $s = w \cdot c$. При этом скорость движения энергии постоянна для всех точек сечения волны (не зависит от r).

Скорость движения электромагнитной энергии v_e не всегда равна скорости света. Например, в стоячей волне $v_e = 0$, и, вообще, в волне, являющейся суммой двух монохроматических электромагнитных волн одинаковой частоты, распространяющихся в противоположных направлениях, перенос энергии ослаблен и $v_e < c$.

Заметим, что на основании известного решения и формулы (3) нельзя найти скорость v_e . Действительно, в системе СИ найдем:

$$v_e = \frac{S}{W} = EH \left/ \left(\frac{\epsilon E^2}{2} + \frac{H^2}{2\mu} \right) \right. = 2\mu \left/ \left(\epsilon\mu \frac{E}{H} + \frac{H}{E} \right) \right..$$

Если $\frac{\epsilon E^2}{2} = \frac{H^2}{2\mu}$, то $\frac{H}{E} = \sqrt{\mu\epsilon}$. Тогда для вакуума

$$v_e = 2\mu \left/ \left(\epsilon\mu \frac{1}{\sqrt{\mu\epsilon}} + \sqrt{\mu\epsilon} \right) \right. = \sqrt{\frac{\mu}{\epsilon}} \approx 376,$$

что **не** соответствует действительности. Вообще, полученное здесь решение не может быть найдено в векторной форме.

6. Импульс и момент импульса

Известно, что

$$p = S/c^2, \quad (1)$$

$$m = p \cdot r, \quad (2)$$

где p - плотность импульса, m - плотность момента импульса в данной точке вокруг оси, отстоящей от данной точки на расстояние r . Из вышеизложенного следует, что в электромагнитной волне существуют потоки энергии, направленные вдоль радиуса, по окружности, вдоль оси. Следовательно, в электромагнитной волне существуют также импульсы, направленные вдоль радиуса, по окружности, вдоль оси. Существуют также моменты импульса относительно любого радиуса, любой окружности и относительно оси.

Рассмотрим момент импульса относительно оси z . В соответствии с (1) найдем этот момент:

$$L_z = p_z r = s_z r / c^2. \quad (3)$$

Этот момент является орбитальным угловым моментом, который обнаруживается в т.н. закрученном свете [6].

Вместе с тем, следует заметить, что закрученность света не следует из существующего решения уравнений Максвелла. Однако, она естественным образом следует из предложенного решения – см. (6). На рис. 7а (взятом из [6]) "картишка с закрученным светом показывает не электрическое поле, а именно волновой фронт (на среднем фрагменте показан незакрученный свет, а на верхнем и нижнем фрагментах – свет, закрученный в ту или иную сторону). Он не плоский, тут фаза волны меняется не только при движении вдоль луча, но и при смещении в поперечной плоскости ... Поскольку поток энергии световой волны обычно направлен перпендикулярно волновому фронту, то получается, что в закрученном свете энергия и импульс волны не просто летят вперед, а как бы крутятся при этом вокруг оси движения." Именно это и получено выше – см. для сравнения рис. 3.4а.

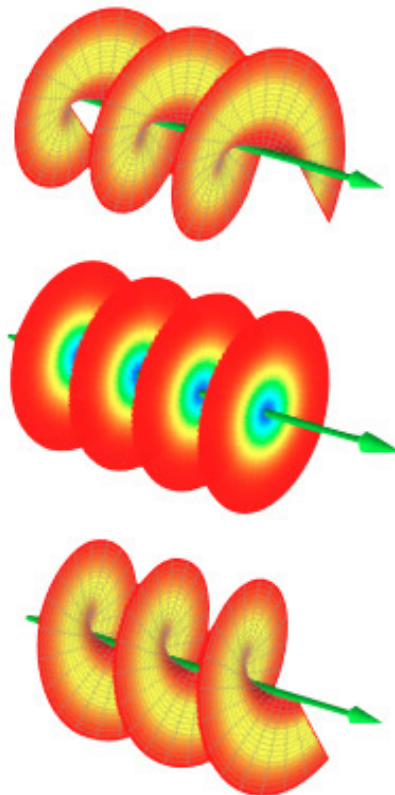


Рис. 7а.

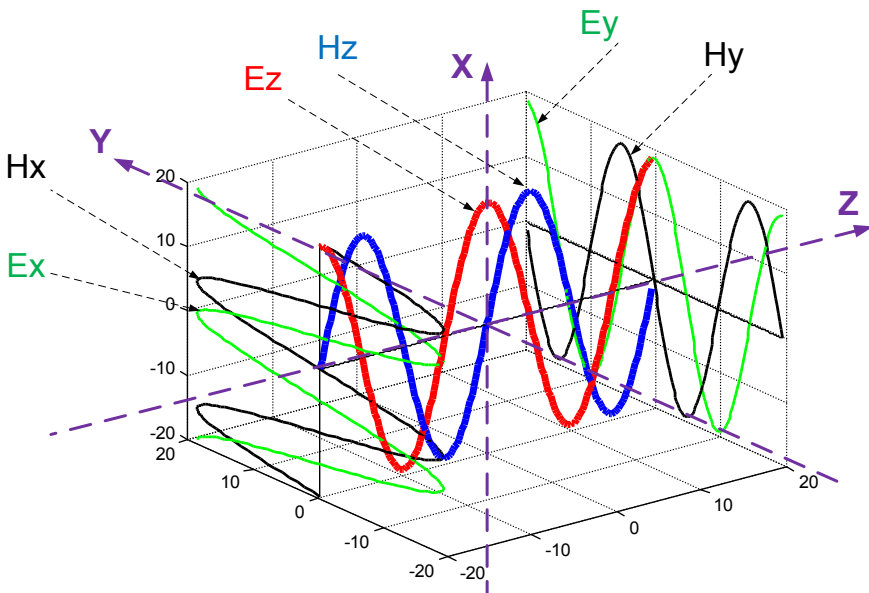


Рис. 8.

7. Обсуждение

На рис. 8 показаны напряженности в декартовых координатах. Полученное решение описывает волну. Основные отличия этого решения от известного решения состоят в следующем:

1. Мгновенный (а не средний по некоторому периоду) поток энергии не изменяется во времени, что соответствует закону сохранения энергии.
2. Поток энергии имеет положительное значение.
3. Поток энергии распространяется вдоль волны
4. Магнитная и электрическая напряженности на некоторой оси координат r, φ, z сдвинуты по фазе на четверть периода.
5. Решение для магнитных и электрических напряженностей является вещественным.
6. Решение существует при постоянной скорости распространения волны.
7. Область существования волны не расширяется, что подтверждается существованием лазера.
8. Векторы электрической и магнитной напряженностей ортогональны.

-
9. Возможны два вида циркулярной поляризации электромагнитной волны
 10. Волна и ее энергия определены, если заданы параметры A , ω , R , α .
 11. Параметр α определяет скорость движения энергии в электромагнитной волне.
 12. Точка, движущаяся по цилиндуру постоянного радиуса так, что значение любой напряженности в этой точке изменяется синусоидально во времени, является винтовой линией.

Литература

1. С.И. Хмельник. Непротиворечивое решение уравнений Максвелла, publ. "MiC", Israel, Printed in USA, Lulu Inc., ID 18555552, ISBN 978-1-329-96074-9, 2016, 196 р.
2. Википедия, Уравнения Максвелла, https://ru.wikipedia.org/wiki/Уравнения_Максвелла
3. Канн К.Б. Электродинамика. Электромагнитные волны, <http://electrodynamics.narod.ru/em-waves.html>
4. Ток смещения и система уравнений Максвелла, <http://www.webpoliteh.ru/subj/dinamo/767-25-tok-smeshheniya-i-sistema-uravnenij-maksvella.html>
5. Умов Н.А. Уравнения движения энергии в телах. - Одесса: Типография Ульриха и Шульце, 1874. - 56 с. <http://izdateilstwo.com/clicks/clicks.php?uri=lib.izdateilstwo.com/Papers2/Umow.pdf>
6. Игорь Иванов. Закрученный свет и закрученные электроны: обзор последних результатов, http://elementy.ru/nauchno-populyarnaya_biblioteka/432009/Zakruchenny_svet_i_zakruchennye_elektrony_obzor_poslednikh_rezultatov